

## 西之島の地殻変動 \*

### Crustal Deformations of Nishinoshima Volcano

国土地理院  
Geospatial Information Authority of Japan

第 1-1 図、第 1-2 図は、「だいち 2 号」の SAR 干渉解析結果である。

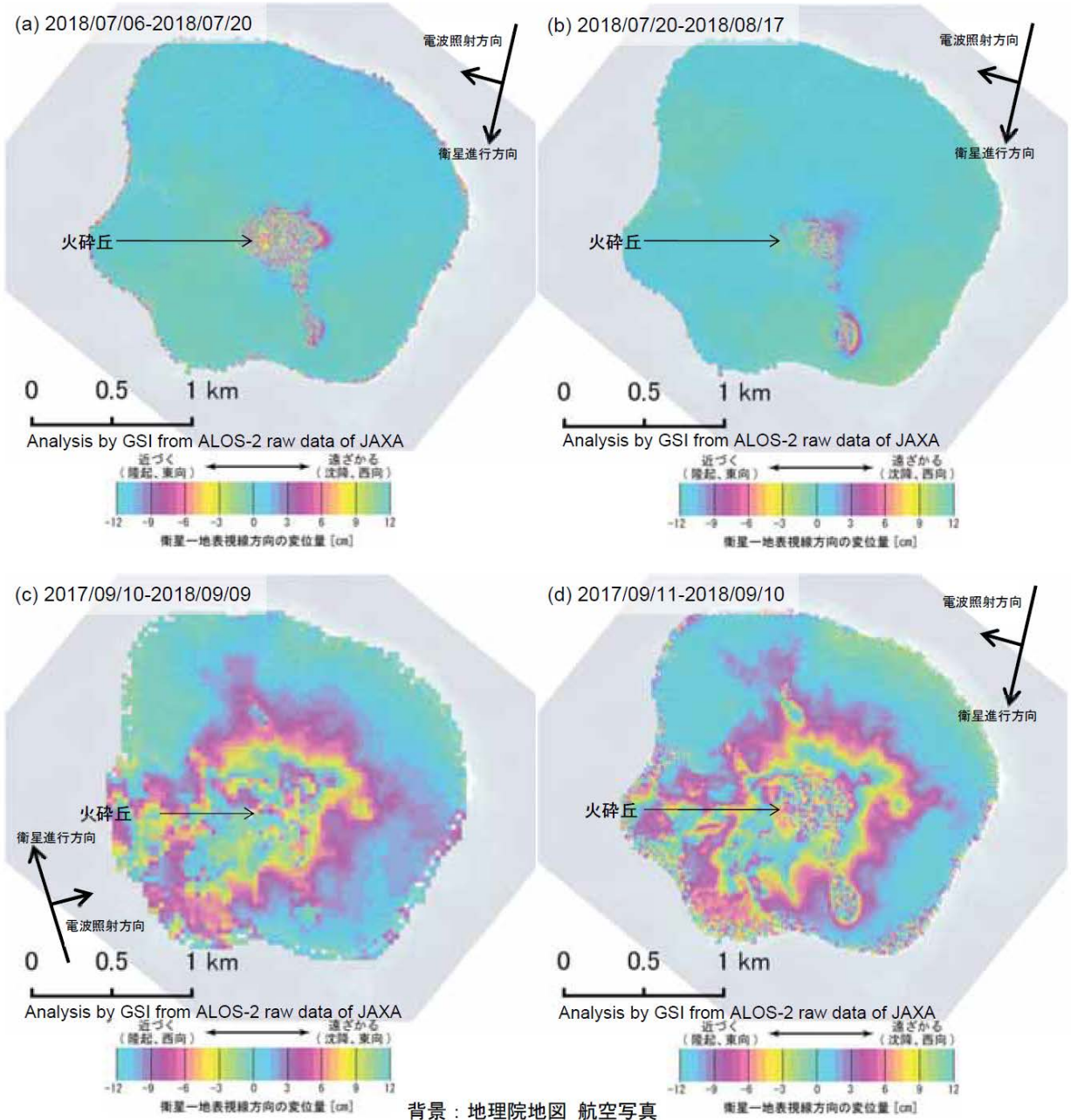
(a)、(b)では、火砕丘付近とその南側で火山噴出物の影響とみられる非干渉領域が見られる。火砕丘の南側にある非干渉領域付近で収縮とみられる衛星から遠ざかる変動が見られる。(e)では、火砕丘付近で火山噴出物の影響とみられる非干渉領域が見られる。火砕丘の南側で収縮とみられる衛星から遠ざかる変動が見られる。長期の(c)、(d)では、火砕丘周辺で収縮とみられる衛星から遠ざかる変動が見られる。

#### 謝辞

ここで使用した「だいち 2 号」の原初データの所有権は、JAXA にあります。これらのデータは、「だいち 2 号」に関する国土地理院と JAXA の間の協定に基づき提供されました。

---

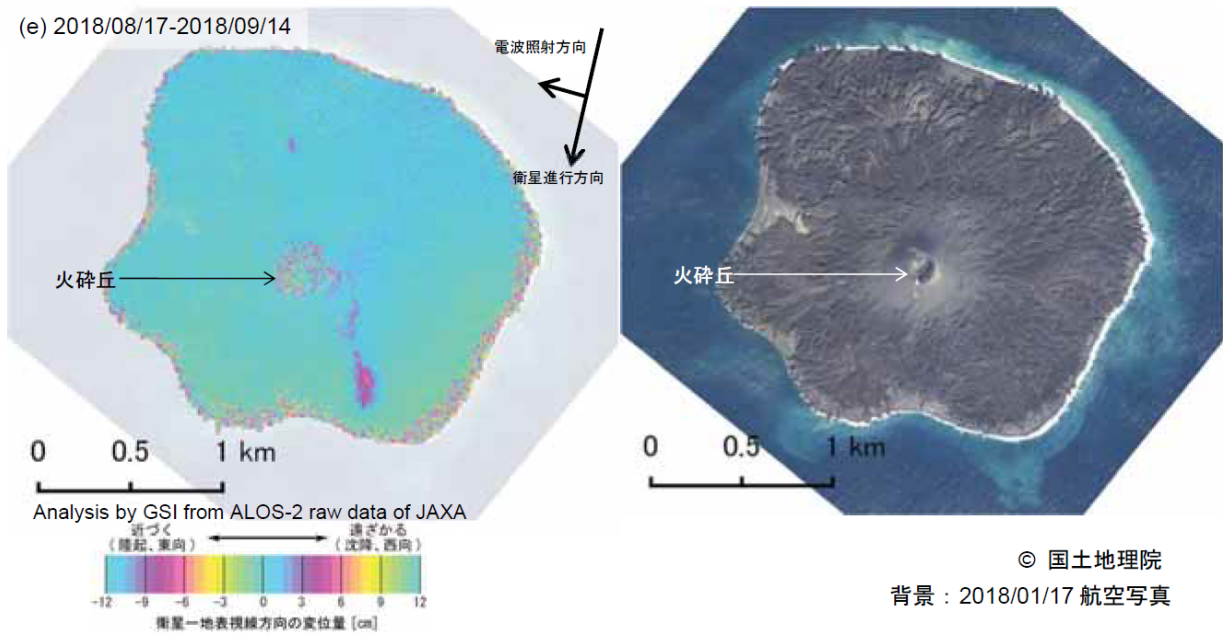
\* 2018年12月 4 日受付



本解析で使用了データの一部分は、火山噴火予知連絡会衛星解析グループの活動を通して得られたものです。

第 1-1 図 「だいち 2 号」 PALSAR-2 による西之島の解析結果

Fig.1-1 SAR Interferograms of ALOS-2 PALSAR-2 of Nishinoshima Volcano.



背景：地理院地図 航空写真

	(a)	(b)	(c)	(d)	(e)
衛星名	ALOS-2	ALOS-2	ALOS-2	ALOS-2	ALOS-2
観測日時	2018/07/06 2018/07/20 11:18 頃 (14 日間)	2018/07/20 2018/08/17 11:18 頃 (28 日間)	2017/09/10 2018/09/09 23:35 頃 (364 日間)	2017/09/11 2018/09/10 11:31 頃 (364 日間)	2018/08/17 2018/09/14 11:18 頃 (28 日間)
衛星進行方向	南行	南行	北行	南行	南行
電波照射方向	右	右	右	右	右
観測モード*	S-S	S-S	H-H	U-U	S-S
入射角	58.7°	58.7°	34.3°	42.9°	58.7°
偏波	HH	HH	HH	HH	HH
垂直基線長	- 204 m	+ 113 m	- 324 m	+ 94 m	+ 48 m

\*U: 高分解能(3m)モード  
\*H: 高分解能(6m)モード  
\*S: スポットライト(3x1m)モード

本解析で使用したデータの一部は、火山噴火予知連絡会衛星解析グループの活動を通して得られたものです。

第 1-2 図 「だいち 2 号」 PALSAR-2 による西之島の解析結果

Fig.1-2 SAR Interferograms of ALOS-2 PALSAR-2 of Nishinoshima Volcano.